

TU DRESDEN

FORTGESCHRITTENENPRAKTIKUM

PRAKTIKUMSBERICHT

---

# Positronen-Emissions-Tomographie

---

*Autoren:*

Toni EHMCKE  
Christian SIEGEL

*Betreuer:*

Carsten BITTRICH

Dresden, 13. November 2015

# Inhaltsverzeichnis

<b>1</b>	<b>Aufgabenstellung</b>	<b>2</b>
<b>2</b>	<b>Physikalische Grundlagen</b>	<b>2</b>
<b>3</b>	<b>Durchführung</b>	<b>2</b>
3.1	Theoretischer Teil . . . . .	2
3.2	Kalibriermessungen . . . . .	2
3.2.1	Messung einer Quelle bekannter Aktivität bei mittiger Quellposition . . . . .	2
3.2.2	Messung bei Positionen direkt an den Detektoren . . . . .	3
3.2.3	Schwerpunktsdiagramme . . . . .	4
3.3	Tomografische Messungen . . . . .	4
3.3.1	Messung einer Quellkonfiguration, Phantom isotroper Dichteverteilung . . . . .	4
3.3.2	Messung einer Quellkonfiguration, Phantom isotroper Dichteverteilung . . . . .	6
3.3.3	Messung mit einer Punktquelle, Phantom an-/insotroper Dichteverteilung . . . . .	8
<b>4</b>	<b>Auswertung</b>	<b>10</b>
<b>5</b>	<b>Literatur</b>	<b>11</b>

# 1 Aufgabenstellung

## 2 Physikalische Grundlagen

## 3 Durchführung

### 3.1 Theoretischer Teil

### 3.2 Kalibriermessungen

#### 3.2.1 Messung einer Quelle bekannter Aktivität bei mittlerer Quellposition

Zunächst haben wir eine Quelle in mittigem Abstand zu den beiden Detektoren vermessen. Die Quelle hatte am 29.10.2015 eine Aktivität  $A = 1,02 \text{ MBq}$ .

Daraus sollten die Energiefenster der beiden Detektoren sowie das Koinzidenzzeitfenster bestimmt werden. Die Energiepeaks werden um  $511 \text{ keV}$  erwartet, was einem Kanal von 2402 für Detektor A und 1868 für Detektor B entspricht. Das Zeitfenster erwarten wir aufgrund technischer Effekte (bspw. Totzeit) und einer gewollten erhöhten Verzögerung im Bereich einiger zehn Nanosekunden.

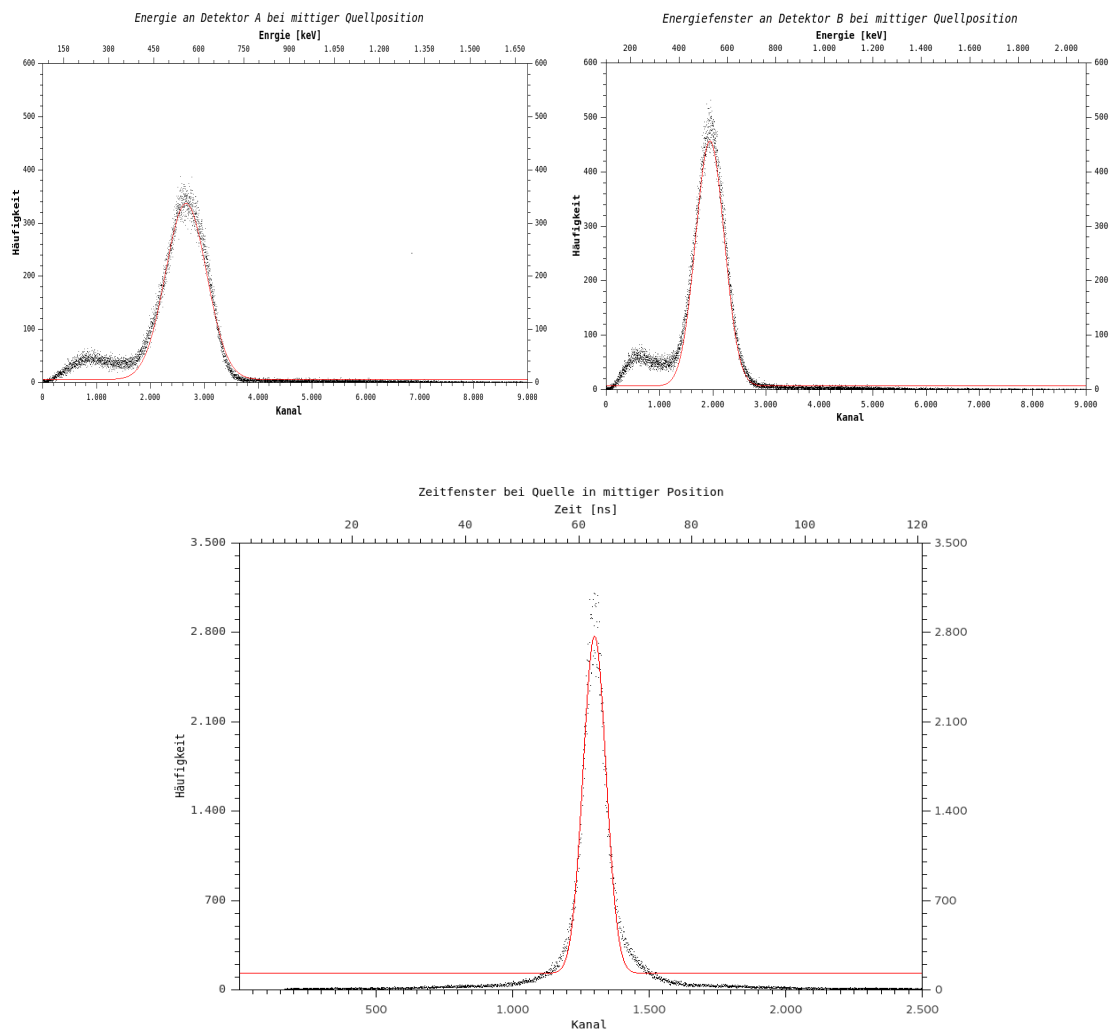


Tabelle 2: Kalibrationsmessung bei Quelle mittig zwischen den Detektoren A und B

Wie man an den oberen beiden Diagrammen von Tabelle 2 sieht, stimmt diese Erwartung mit einer leichten Verschiebung nach rechts gut überein. Dies kann dem statistischen Charakter von

Kernzerfällen und den Wegen (verändert ua. durch Compton-Streuung für Photonen, freiwerdende Bremsstrahlung für Positronen), die die Positronen und letztlich die Photonen zurücklegen zugeordnet werden. Andererseits unterliegen die Detektormessungen und die Umrechnung der Kanäle in Energien einem Fehler, da die Kanäle diskret sind und nur bestimmte Energien detektieren können, was dazu führt, dass Energien zwischen zwei Kanälen verloren gehen. Die Umrechnung der Kanäle in Energien und Zeit erfolgt mittels folgender, uns gegebener Formeln des Musters  $G = a + b \cdot K$ , wobei K die Kanalnummer meint und a bzw. b Parameter sind:

$$\begin{aligned} E_A &= (81 \pm 31) + (0,179 \pm 0,012)K_A \\ E_B &= (100 \pm 40) + (0,220 \pm 0,021)K_B \\ \Delta t &= (-0,014 \pm 0,0192) + (0,0483 \pm 0,00002)K_t \end{aligned}$$

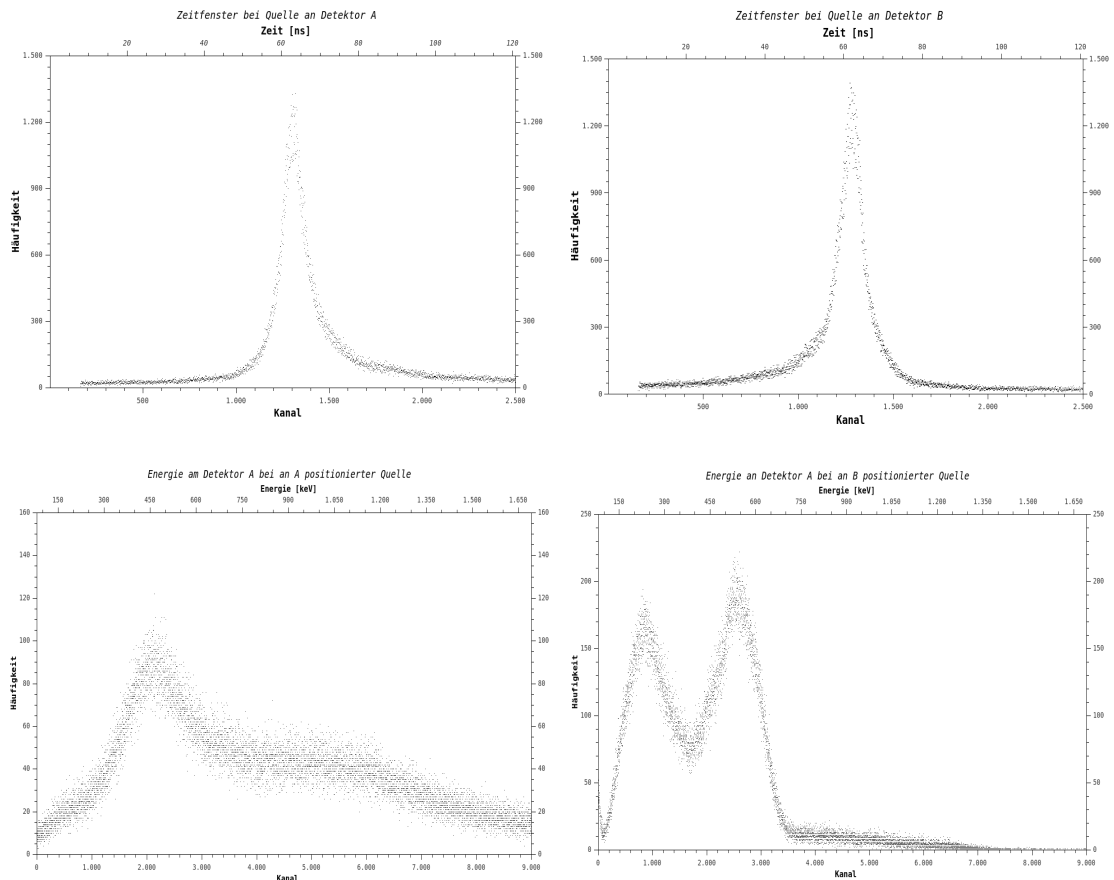
Die Fehler für die Umrechnung von Kanälen in physikalische Einheiten lassen sich leicht über die gauß'sche Fehlerfortpflanzung bestimmen und belaufen sich betreffend der Diagramme in 2 auf:

$$\Delta(\Delta t) = 0,03 \text{ ns}; \Delta E_A = 44,84 \text{ keV}; \Delta E_B = 44,00 \text{ keV}$$

Um Messungen vorzunehmen, müssen jetzt die Fenster für Energie und Koninzenzzeit bestimmt werden. Dies geschieht über Gauß-Fits in den Diagrammen von Tabelle 2. Dann bestimmt man das FWHM und zieht es von den Maxmumpositionen ab. Damit ergeben sich die Fenster zu:

$$E_A \in [2217, 3101], E_B \in [1629, 2264], \Delta t \in [x]$$

### 3.2.2 Messung bei Positionen direkt an den Detektoren



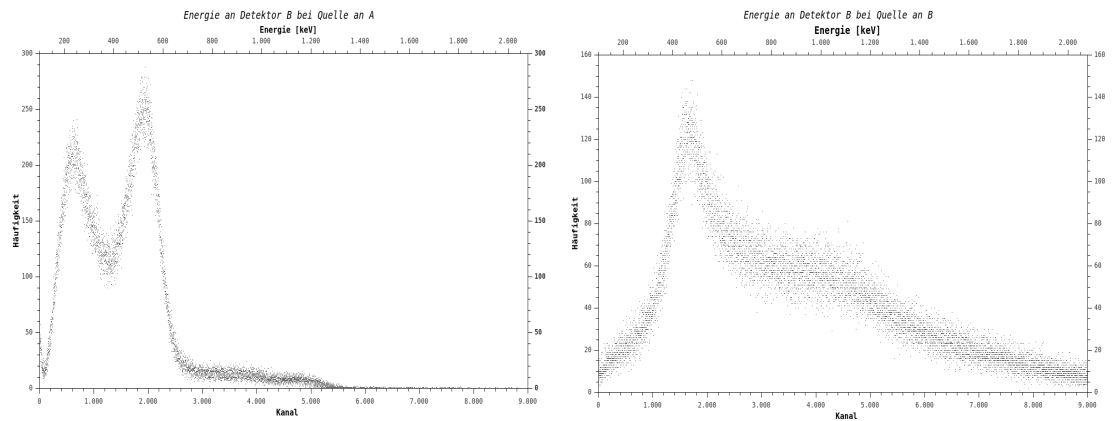


Abbildung 1: Gegenüberstellung der Messungen mit der Quelle an Det. A (links) und Det. B (rechts)

### 3.2.3 Schwerpunktsdiagramme

Als nächstes sind die Schwerpunktsdiagramme zu betrachten. Es wurden drei von Detektor A erstellt. Einmal als die Quelle an Detektor B positioniert wurde, danach an Detektor A und einmal mittig zwischen beiden.

In Abbildung 2 kann gegenüber 4 ein schwächeres Muster. Gegenüber Abbildung 4 ist sogar deutlich, die Kristallstruktur erkennbar.

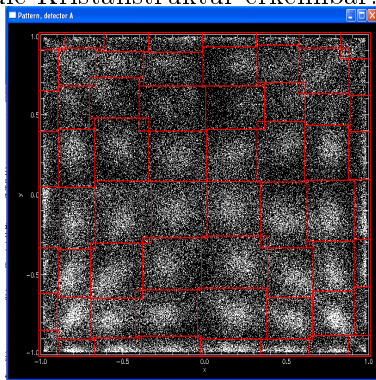


Abbildung 2: Messung bei Quelle an Detektor B

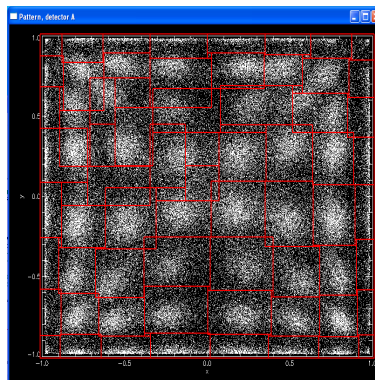


Abbildung 3: Messung bei Quelle in der Mitte

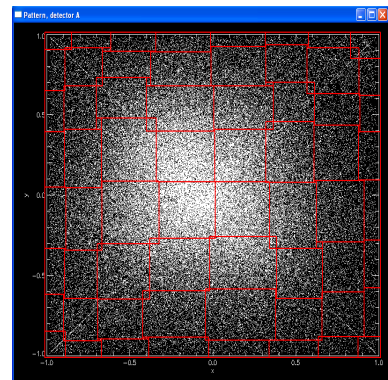


Abbildung 4: Messung bei Quelle an Detektor A

## 3.3 Tomografische Messungen

### 3.3.1 Messung einer Quellkonfiguration, Phantom isotroper Dichteverteilung

#### Hauptversuch

#### Untersuchung des Einflusses verschiedener Filter

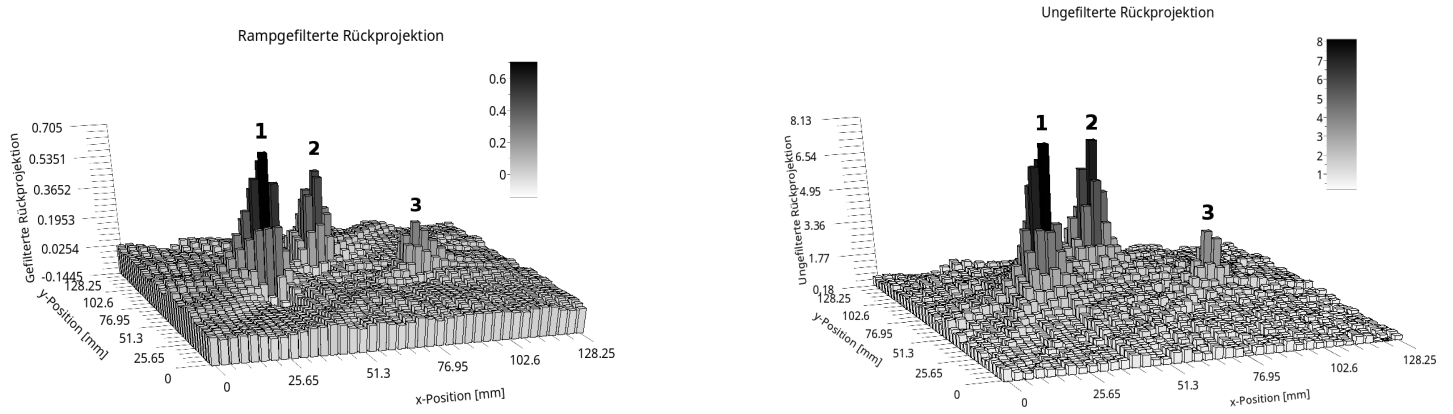
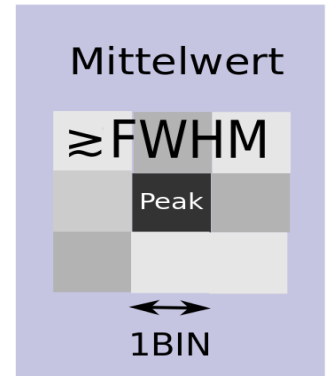


Abbildung 5: Gefilterte und Ungefilterte Rückprojektion der Aktivitätsverteilung

### Quantitative Auswertung

Zunächst werden die Positionen  $(x_i, y_i)$  ( $i = 1, 2, 3$ ) der 3 Quellen im verschlossenen Plastikbehälter bestimmt. Dafür wird die in Abbildung (5) visualisierte Rückprojektion  $N(x, y)$  verwendet, die durch Auslesen der in `Matrix_reco.txt` enthaltenen Messwertmatrix entstanden ist. Der erste Eintrag sei als Koordinatenursprung gewählt. 1 BIN des Rekonstruktionsrasters entspricht 3,375 mm. Die Positionen der Quellen werden mit den lokalen Maxima  $N(x_i, y_i)$  der Aktivitätsverteilung identifiziert.

Anschließend quantifiziert man die Aktivität jeder einzelnen Quelle, indem man die rückprojizierten Verteilung über einen kleinen Bereich um die Peaks mittelt. Bezeichne diesen Mittelwert mit  $\bar{N}(x_i, y_i)$ . Im Rahmen dieser Auswertung wurde ein quadratischer Bereich gewählt, in welchem Werte anzutreffen waren, die in der Nähe des FWHM (=Full Width Half Maximum) lagen. Dieses Vorgehen wird durch die nebenstehende Abbildung visualisiert.



Mittels einfacher Verhältnisbildung können unter Vorgabe einer Referenzaktivität  $A_{ref}$  nun unbekannte Aktivitäten innerhalb der Verteilung berechnet werden. Dabei wurde die stärkste Aktivität mit  $A_0 \equiv A(t_0 = 01.02.2010) = (363 \pm 11)$  kBq angegeben. Mit dem Aktivitätsgesetz kann man nun berechnen:

$$A_{ref} \equiv A(t = 29.10.2015) = A_0 \cdot \left(\frac{1}{2}\right)^{\frac{t-t_0}{T_{1/2}}} = (79 \pm 3) \text{ kBq} \quad (1)$$

Wobei die Halbwertszeit  $T_{1/2}(^{22}\text{Na}) = (2,6027 \pm 0,0010)$  a verwendet wurde, sowie folgende Fehlerformel:

$$\left(\frac{\Delta A_{ref}}{A_{ref}}\right)^2 = \left(\frac{\Delta A_0}{A_0}\right)^2 + \left(\ln(2) \cdot \frac{\Delta T_{1/2}}{T_{1/2}}\right)^2 \quad (2)$$

Bezeichnet man  $A_{ref} \propto \bar{N}_{ref} \equiv \bar{N}(x_1, y_1)$  als rückprojizierte Aktivität der Referenzquelle, so erhält man für die unbekannten Aktivitäten  $A_i \propto \bar{N}(x_i, y_i)$ :

$$A_i = A_{ref} \cdot \frac{\bar{N}(x_i, y_i)}{\bar{N}_{ref}} \quad (3)$$

$$\left(\frac{\Delta A_i}{A_i}\right)^2 = \left(\frac{\Delta A_{ref}}{A_{ref}}\right)^2 + \left(\frac{\Delta \bar{N}(x_i, y_i)}{\bar{N}(x_i, y_i)}\right)^2 + \left(\frac{\Delta \bar{N}_{ref}}{\bar{N}_{ref}}\right)^2 \quad (4)$$

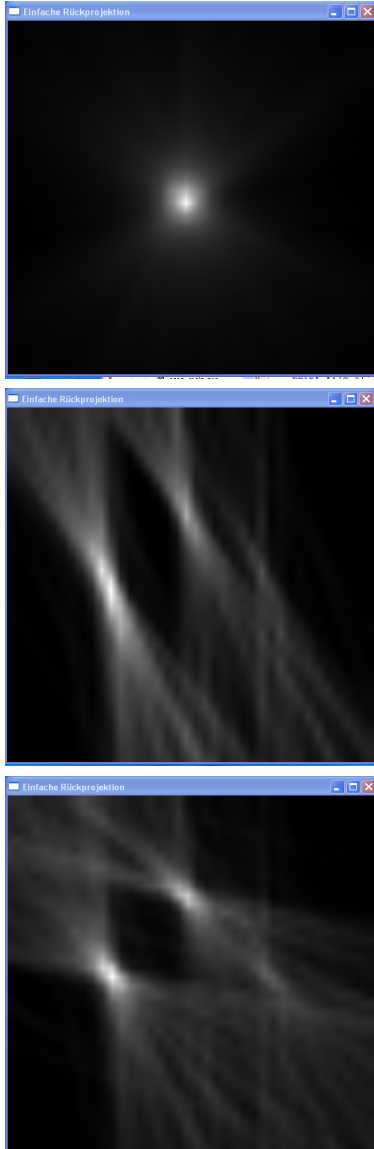
Hierbei wurden die Fehler der rückprojizierten Aktivitäten als Standardabweichungen des Mittelwertes gesetzt, die sich beim obigen Mittelvorgang ergab:  $\Delta\bar{N}(x_i, y_i) = \sigma(\bar{N})$ . Die systematischen Fehler des PET-Scanners waren leider nicht bekannt. Zusammenfassend ergeben sich folgende Resultate:

### 3.3.2 Messung einer Quellkonfiguration, Phantom isotroper Dichteverteilung

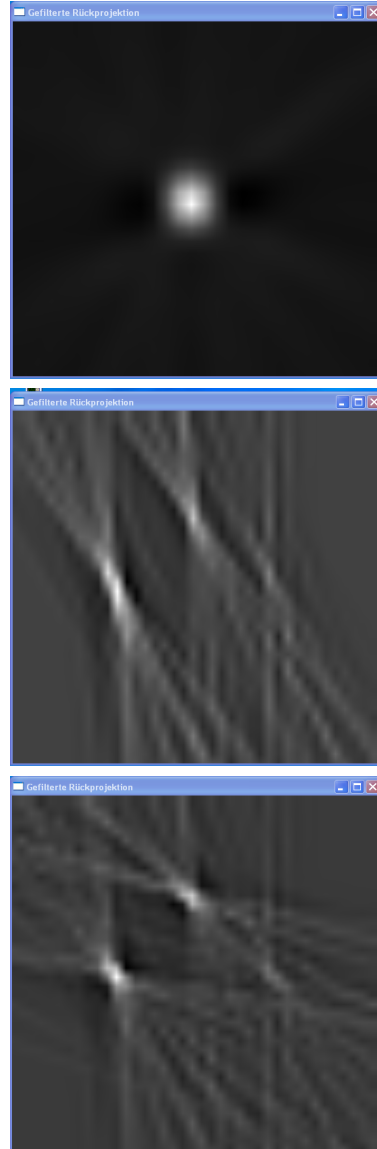
#### Hauptversuch

Als nächsten wurde eine Messung mit unbekannter Quellverteilung gestartet. Die Energie- und das Zeitfenster entsprechen den oben bestimmten Intervallen.

ungefilterter Projektion



gefilterte Rückprojektion



ungefilterter Projektion



gefilterte Rückprojektion

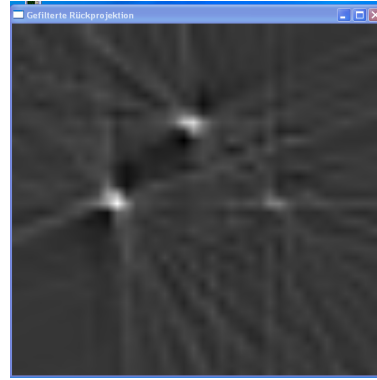
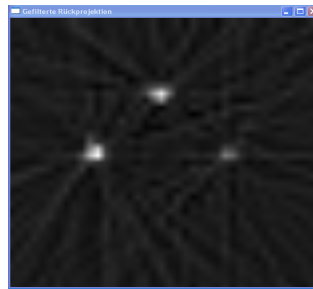


Abbildung 6: Screenshots der Bildenstehung der gefilterten (rechts) und ungefilterten (links) Rückprojektion

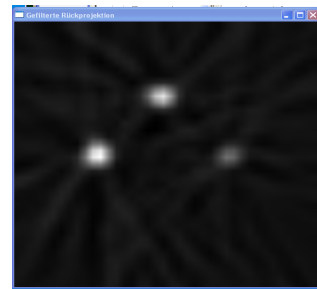
### Untersuchung des Einflusses verschiedener Filter



ungefilterte Rückprojektion



Rampf-Filter



Hanning-weighted-Filter



Middle-Filter



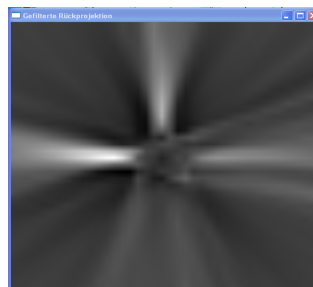
Rauschfilter bei Dimension 3



Rauschfilter bei Dimension 13



Rauschfilter bei Dimension 25



Rauschfilter bei Dimension 36



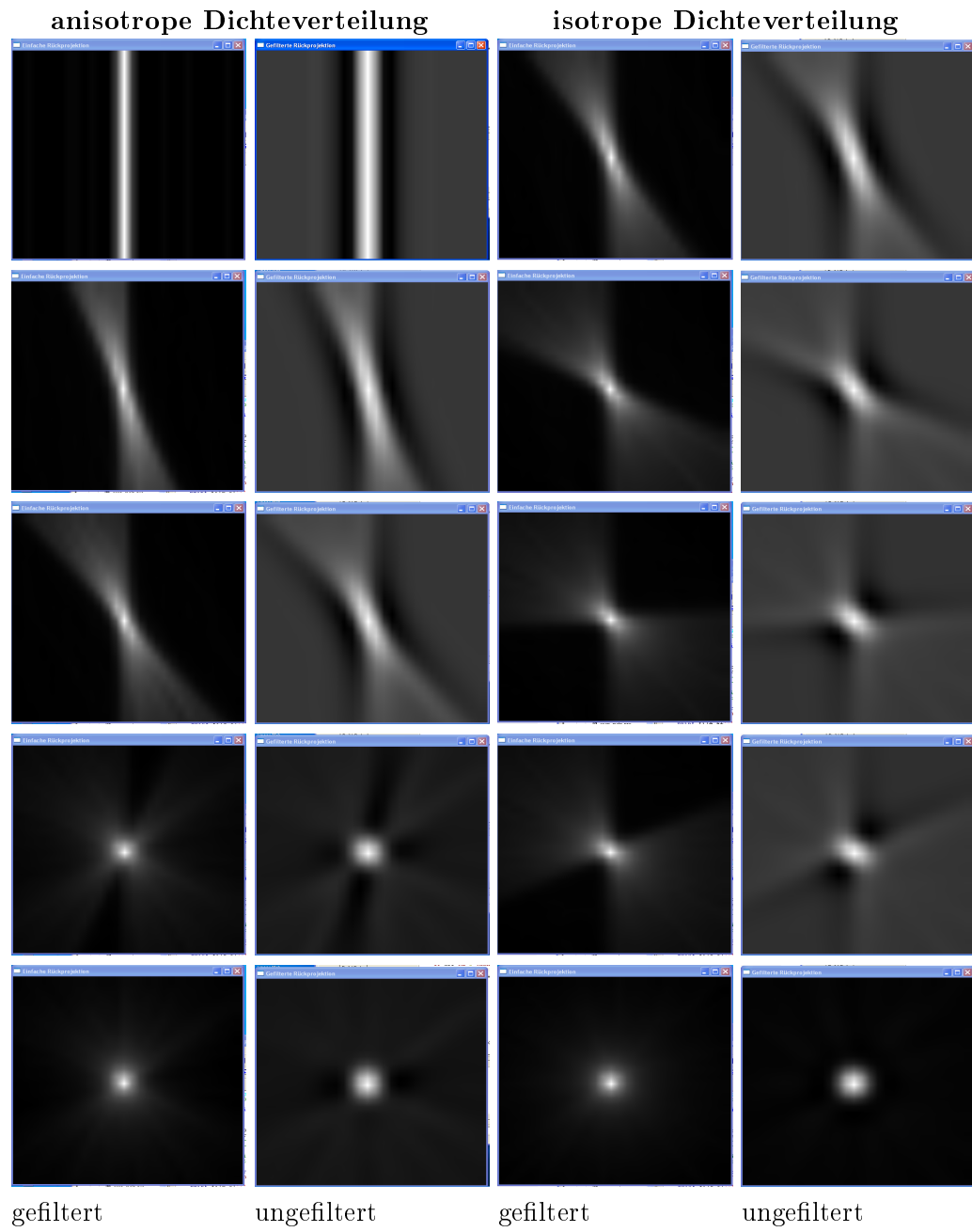
Shepp-Logan-Filter



Der Standardwert der Dimension ist 13.

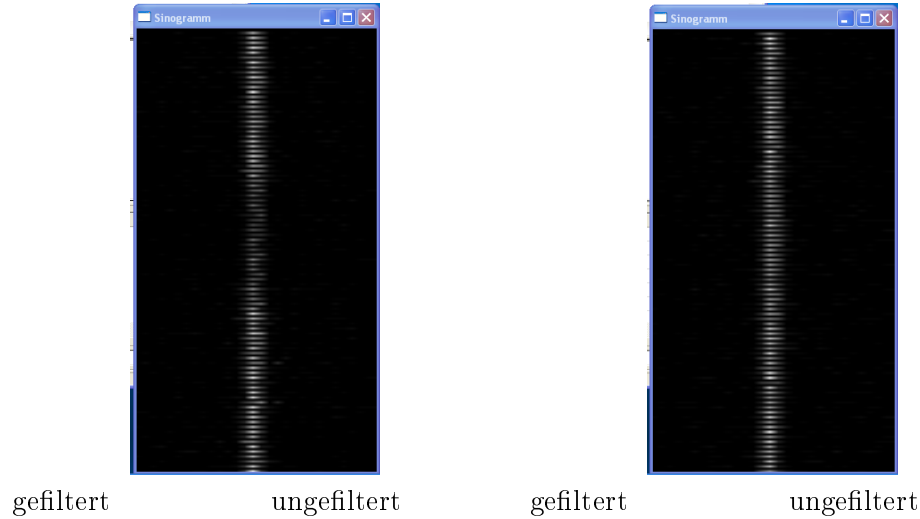
### 3.3.3 Messung mit einer Punktquelle, Phantom an-/isotroper Dichteverteilung

Qualitative Gegenüberstellung an-/isotroper Dichteverteilung



anisotrope Dichteverteilung

isotrope Dichteverteilung



Gegenüberstellung der registrierten Ereigniszahlen und Ermittlung einer Korrekturfunktion

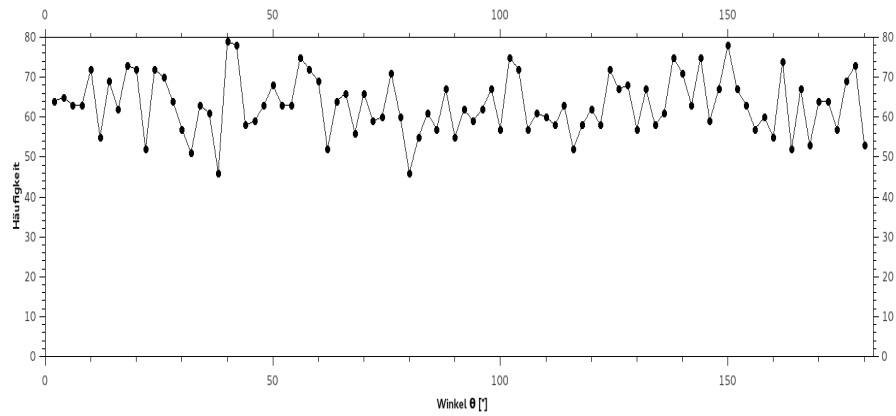


Abbildung 7: Plot der registrierten Ereigniszahlen

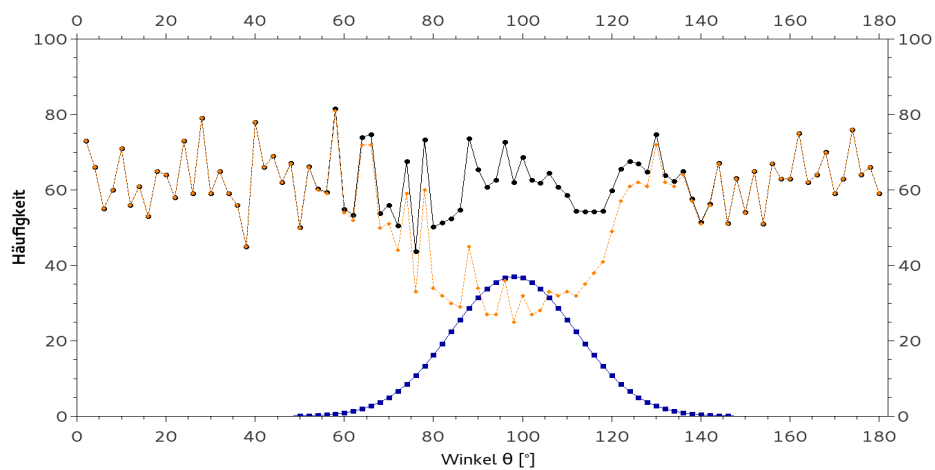


Abbildung 8: registrierte Ereignisse (gelb), korrigierte Ereigniszahlen (schwarz) und Korrekturfunktion (blau)

Die Korrekturfunktion, die man sich anhand der gelben Kurve ausdenken könnte, ist eine Gauß-Funktion, die ihr Maximum gerade im Minimum der erfassten Daten hat. Sie sieht

folgendermaßen aus:

$$K(\theta) = \frac{A}{\sqrt{2\pi\sigma}} e^{-\frac{1}{2}\left(\frac{\theta-\Delta\theta}{\sigma}\right)^2} \text{ mit folgenden Parametern } \sigma = 14^\circ, A = 1300^\circ \text{ und } \Delta\theta = 98^\circ$$

## 4 Auswertung

## 5 Literatur